

Task-Aware Image Restoration using All-In-One Models

2025 Summer Seminar



Sogang University

Vision & Display Systems Lab, Dept. of Electronic Engineering



Presented By

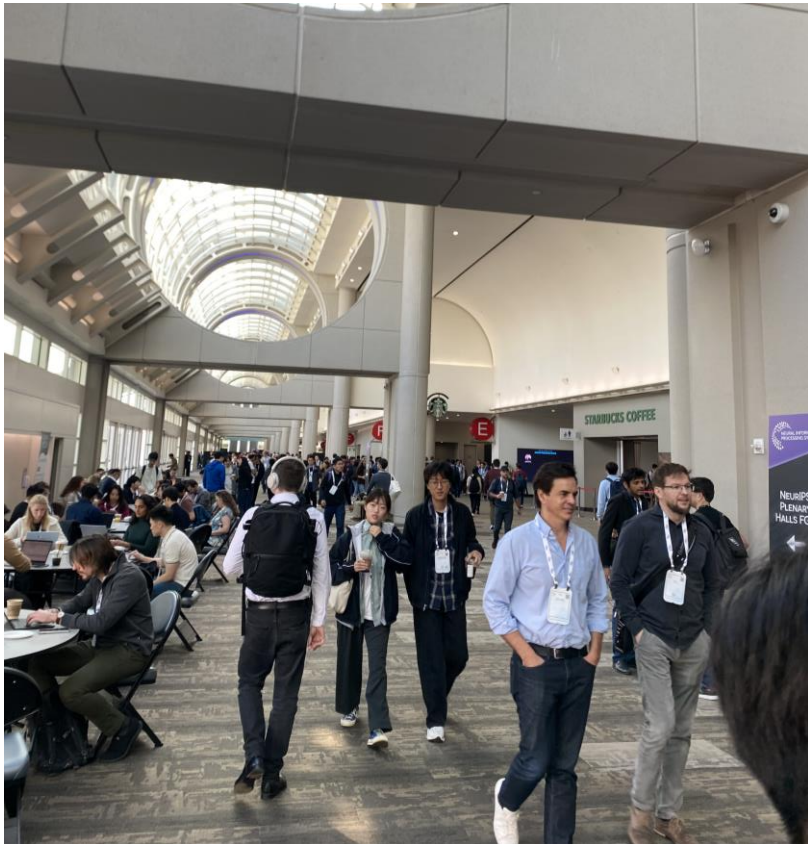
Matti Zinke

Contents

- NeurIPS 학회 경험
- Background
- P2IKT: Prior and Prediction Inverse Kernel Transformer for Single Image Defocus Deblurring [AAAI 2024]
- Revitalizing Convolutional Network for Image Restoration [TPAMI 2025]

NeurIPS 경험

- 2025/12/02-2025/12/07
- San Diego, California



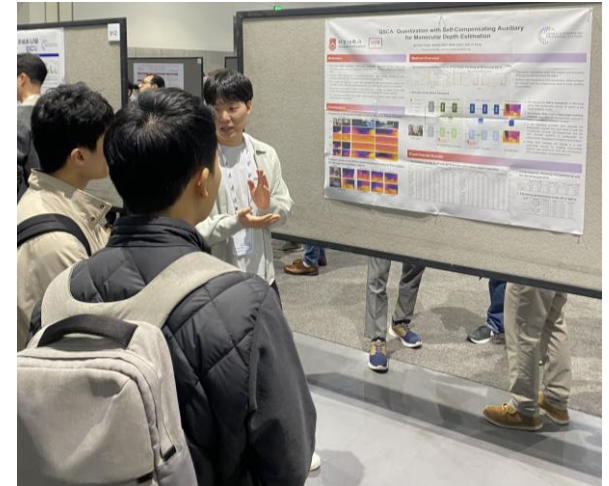
< 학회장 로비 >



< 학회장 앞 >

NeurIPS 경험

- 2025/12/02-2025/12/07
- San Diego, California
- Over 25,000 submissions and visitors
- 포스터 발표
 - 질문 하러 온 사람 50명 이상
 - 메타, ByteDance, 네이버, 삼성전자, 퀄컴, 노타AI 등



Background

- What is Defocus Deblur?

- Single image defocus deblurring는 all-in-focus 이미지를 복원하는 것이 목표함
- Focal plane에 있는 object가 sharp 하며, focal plane에 아닌 것은 blurry 함

- 이미지 내의 object가 거리에 따라 blur가 달라짐

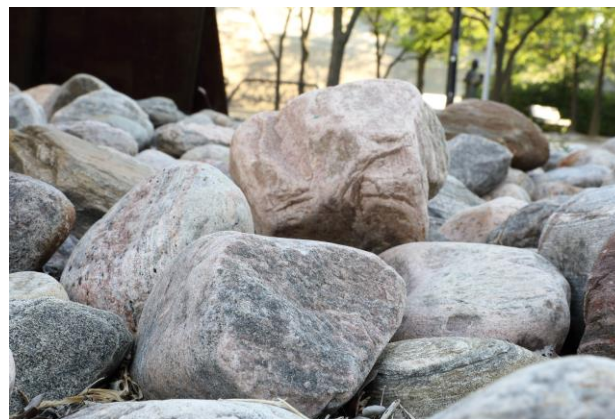
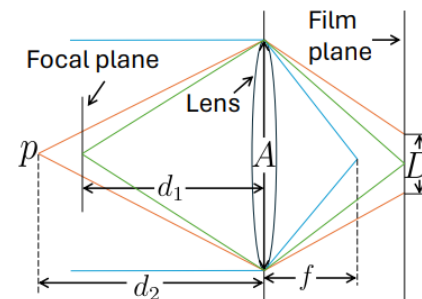
- ※ Spatially-varying 특성을 가짐

- ※ 이미지 전체에 동일한 kernel 적용할 수 없음

- Defocus deblur 일반적으로 convolution으로 표현됨

$$-I_B = I_S \otimes K + N$$

- ※ Defocus deblurring 보통 식의 역과정을 통해 sharp한 이미지 추정함



- P2IKT: Prior and Prediction Inverse Kernel Transformer for Single Image Defocus Deblurring [AAAI 2024]

Introduction

- Defocus 모델은 보통 irregular이나 generalization 중에 한 가지를 잘 못함
 - Train 이미지에 있는 blur에 대한 mapping을 학습
 - 모르는 blur에 robust 하지 않음
 - Prior kernel은 complexity 줄이기 위해서 쓰게 됨
 - 하지만, irregular blur를 이런 kernel로 근접할 수 없음
- Divide and conquer 방식으로 이 문제를 해결
 - Defocus blur는 보통 Gaussian blur나 비슷한 형태로 근접
 - Inverse Gaussian kernel module로 generalization ability 향상
 - Gaussian 아닌 blur를 제거 위한 inverse kernel prediction module 제안
 - 두 blur kernel 중에 맞는 kernel을 adaptive하게 선택
 - 이를 위해서 scale recurrent transformer 제안

Method

- Blur 모델의 blur을 표현 방식

- $I_B = k \otimes I_S$

- I_B 는 blurry 이미지, I_S 는 sharp 이미지, k 는 kernel이며, \otimes 는 convolution

- Real-world 에서는 blur kernel k 는 complex

- $I_B = \begin{cases} k_{ga} \otimes I_S, & k \text{ approximated as Gaussian} \\ k_{ir} \otimes I_S, & \text{otherwise} \end{cases}$

- 모든 이미지에 k_{ga} 와 k_{ir} 기반인 deconvolution을 적용하며 coefficient map 따라 합침

- Inverse kernel of k_{ga}

- k_{ga} 는 linear combination of multi-size Gaussian blur kernels $g(\sigma_j)$

- $g(\sigma_j)$ 의 inverse kernel은 Wiener deconvolution으로 얻음

- $I_S = \sum_{j=1}^J \alpha_j \odot \left(f^{-1} \left(\frac{\bar{f}(g(\sigma_j))}{f^2(g(\sigma_j)) + n} \right) \right) \otimes I_B$

- ※ $g(\sigma)$ 는 variance σ^2 의 Gaussian kernel, α_j 는 j-th inverse Gaussian kernel의 coefficient matrix, $\bar{f}(\cdot)$ 는 $f(\cdot)$ 의 conjugate, $f(\cdot)$ 와 $f^{-1}(\cdot)$ 는 discrete Fourier transform and inverse

Method

- Blur 모델의 blur을 표현 방식

- $I_B = k \otimes I_S$

- I_B 는 blurry 이미지, I_S 는 sharp 이미지, k 는 kernel이며, \otimes 는 convolution

- Real-world 에서는 blur kernel k 는 complex

- $I_B = \begin{cases} k_{ga} \otimes I_S, & k \text{ approximated as Gaussian} \\ k_{ir} \otimes I_S, & \text{otherwise} \end{cases}$

- 모든 이미지에 k_{ga} 와 k_{ir} 기반인 deconvolution을 적용하며 coefficient map 따라 합침

- Inverse kernel of k_{ir}

- Kernel prediction network (KPN) 학습하여 irregular kernel k_{ir} 예측

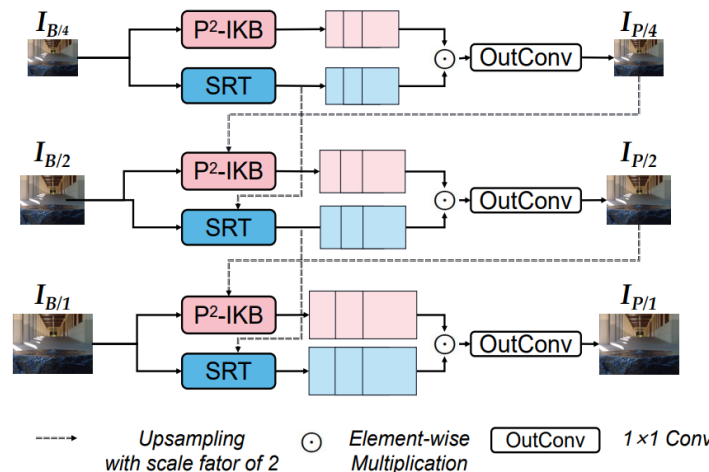
- $I_S = f^{-1}\left(\frac{1}{f(k_{ir})}\right) \otimes I_B = k_{ir}^\dagger \otimes I_B$

- ※ k_{ir}^\dagger 는 inverse kernel of k_{ir}

Method

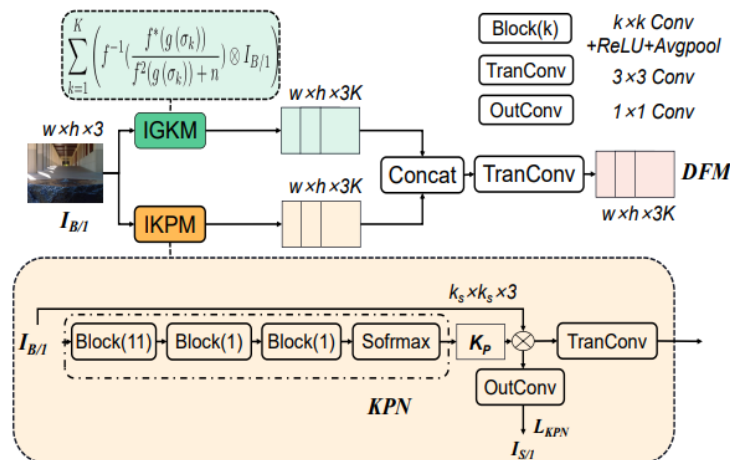
- 모델 구조

- Coarse-to-fine 모델
- $I_{B/4}$ 와 $I_{P/4}$ 는 1/4 사이즈로 줄인 blurry 이미지와 deblurred result을 의미함
- $I_{B/2}$ 는 $I_{P/4}$ 를 입력으로 받고 SRT도 이전의 coefficient map을 입력으로 받음
- Deconvolutional feature map 과 coefficient map는 element-wise product으로 합치며 이미지를 restore함
- Prior-and-Prediction Inverse Kernel Block (P2IKB)와 Scale Recurrent Transformer (SRT) 제안



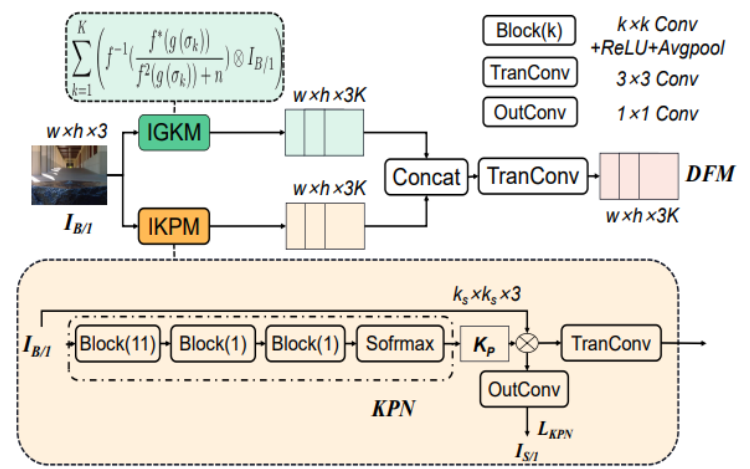
Method

- Prior-and-Prediction Inverse Kernel Block (P2IKB)
 - Defocus blur는 Gaussian blur와 Gaussian blur 아닌 blur로 나눔
 - 각 blur 위해서 모듈을 하나씩 설계
 - 다양한 사이즈인 Gaussian blur를 Inverse Gaussian Kernel Module (IGKM)으로 제거
 - Gaussian kernel은 predefined이며 group convolution으로 이루어짐
 - Irregular blur를 없애기 위해서 Inverse Kernel Prediction Model (IKPM) 설계
 - 이전 kernel prediction networks (KPN)과 비슷하며 irregular kernel을 예측함



Method

- Prior-and-Prediction Inverse Kernel Block (P2IKB)
 - Inverse kernel prediction module (IKPM)
 - KPN, TransConv, Out-Conv 3부분으로 이루어져 있음
 - KPN은 3x convolution block + softmax을 통해 blurry 이미지 $k_s \times k_s \times 3$ kernel로 mapping
 - ※ k_s 는 max kernel size
 - OutConv으로 auxiliary loss L_{KPN} 을 설계하며 inverse kernel을 K_p 를 정함
 - ※ $L_{KPN} = L_2(I_{S/1}, OutConv(K_p \otimes I_{B/1}))$
 - TransConv으로 IGKM과 IKPM의 channel size를 align을 시킴
 - Concat + TransConv으로 final deconvolutional feature map 계산



Method

- Scale Recurrent Transformer (SRT)

- Blurry 이미지를 coefficient map으로 변환

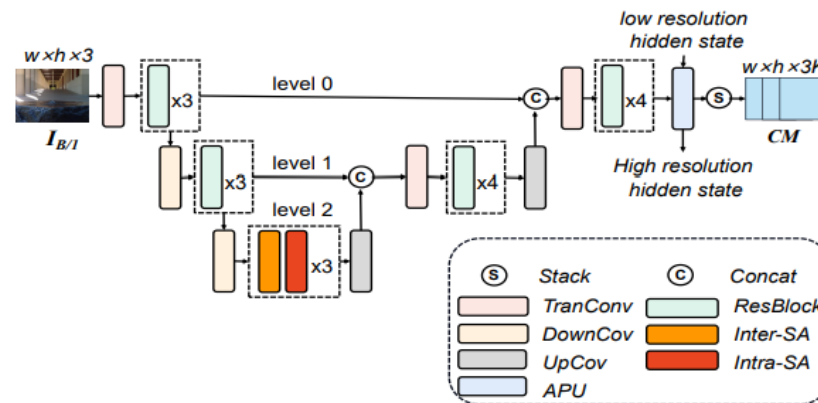
- Coefficient map으로 adaptively IGKM + IKPM의 출력을 deconv feature map으로 변환

- Encoder-decoder structure, multi-scale feature 얻기 위해서 편리함

- Coefficient map는 attention map이어서 Stripformer에서 제안한 inter + intra-strip attention 사용

- Recurrent Unit (APU)는 hidden state를 합치고 coefficient map을 생성하며 다음 stage SRT으로 출력함

- Restormer와 동일하게 decoder에 basic block을 더 추가함



Method

- Training strategy

- $L = L_2 + \lambda_1 L_{freq} + \lambda_2 L_{LPIPS} + \lambda_3 L_{KPN}$

- L_{freq} ≙ frequency-domain loss

- L_{LPIPS} ≙ Learned Perceptual Image Patch Similarity loss

- Ablation

P ² IKT				DPDD			RealDoF			LF-DOF			# Params (M)
IGKM	IKPM	SRT	SRAM										
			✓	24.27	0.766	0.229	22.97	0.739	0.290	25.25	0.768	0.244	3.58
✓	✓		✓	25.91	0.791	0.208	25.22	0.766	0.252	26.40	0.809	0.222	3.64
		✓		26.03	0.798	0.199	25.46	0.782	0.240	26.01	0.799	0.220	3.26
✓		✓		26.13	0.800	0.200	25.72	0.783	0.238	26.73	0.807	0.220	3.26
	✓	✓		26.12	0.799	0.203	25.67	0.782	0.249	26.69	0.806	0.227	3.32
✓	✓	✓		26.29	0.807	0.191	25.78	0.787	0.235	26.90	0.821	0.220	3.32

- SRAM은 Scale Recurrent Attention Model 뜻하며 squeeze attention module임

- Baseline에서 사용된 attention module

Experiment

- Qualitative Results



22.81dB/0.724
Blurry Input



PSNR/SSIM
Reference



22.81dB/0.724
Blurry Input



24.41dB/0.813
GKMNet



24.65dB/0.835
IFAN

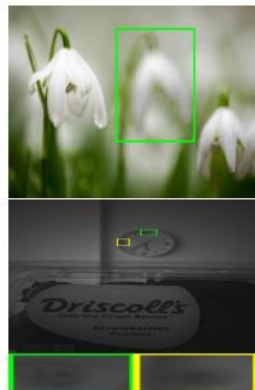


24.79dB/0.863
Restormer



25.18dB/0.856
Ours

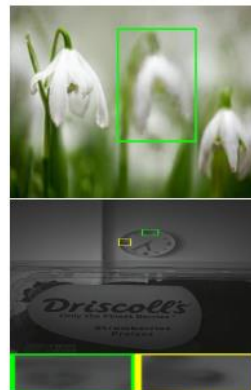
< Qualitative results on RealDoF dataset >



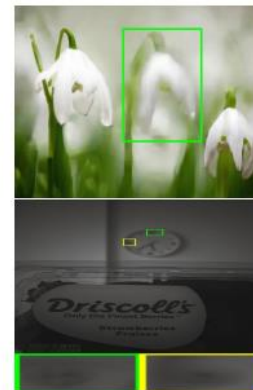
(a) Input



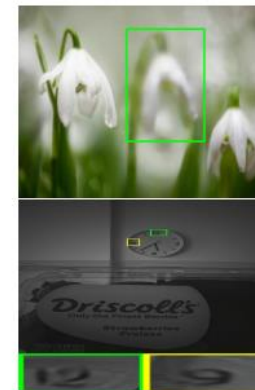
(b) IFAN



(c) GKMNet



(d) Restormer



(e) Ours

< Qualitative results on CUKH dataset >

Experiment

- Quantitative Results

Model	DPDD			# Params (M)
	PSNR	SSIM	LPIPs	
Blurry Input	23.89	0.725	0.349	-
JNB	23.69	0.707	0.442	-
EBDB	23.94	0.723	0.402	-
DMENet	23.90	0.720	0.410	26.94
DPDNet-S	24.03	0.735	0.279	35.25
KPAC	25.22	0.774	0.227	1.58
IFAN	25.37	0.789	0.217	10.48
GKMNet	25.36	0.774	0.276	1.41
DRBNet	25.47	0.787	0.246	-
Restormer	<u>25.98</u>	0.811	0.178	26.10
P ² IKT (Ours)	26.29	<u>0.807</u>	<u>0.191</u>	3.32

< Results on DPDD dataset >

Model	RealDoF			LF-DOF			DED			RTF		
	PSNR	SSIM	LPIPs									
Blurry Input	22.54	0.636	0.498	25.87	0.779	0.316	28.58	0.884	0.164	24.18	0.739	0.364
IFAN	25.01	0.770	0.250	26.11	0.817	<u>0.220</u>	27.85	0.890	0.111	24.92	0.821	<u>0.215</u>
GKMNet	24.58	0.735	0.337	25.96	0.802	0.271	27.93	0.883	0.144	<u>25.10</u>	<u>0.826</u>	0.274
Restormer	<u>25.43</u>	0.801	0.218	<u>26.44</u>	0.824	0.207	26.95	0.884	<u>0.113</u>	24.21	0.822	0.204
P ² IKT (Ours)	25.78	<u>0.787</u>	<u>0.235</u>	26.90	<u>0.821</u>	<u>0.220</u>	<u>28.29</u>	<u>0.888</u>	0.123	25.85	0.839	0.207

< Results on other defocus datasets >

- Revitalizing Convolutional Network for Image Restoration [TPAMI 2024]

Introduction

- 다양한 degradation을 제거하기 위하여 설계한 image restoration 모델
- 요즘 image restoration에서 transformer를 global 정보를 얻기 위해서 무조건 씬
- ConvIR는 CNN의 가능성을 보여주기 위해서 CNN로만 된 모델 제안
 - Transformer와 비슷하거나 더 높은 성능 보여줌
 - Self-attention의 complexity 줄이기 위해서 CNN만 쓰는 것이 선호
- 잘 되는 image restoration 모델은 꼭 고려해야 하는 것의 분석
 - Multi-scale representation learning
 - 다양한 사이즈의 blur를 더 잘 제거하기 위해서 필요함
 - Spatial attention
 - 중요한 부분에만 집중해서 spatially-varying blur를 없애기 위해서 필요함
 - Frequency modulation
 - Sharp한 이미지와 blurry 이미지의 frequency 차이를 줄이기 위해서 필요함
 - Low computational complexity
 - 이미지의 해상도가 높아도 efficient해야 함

Method

- 모델 구조

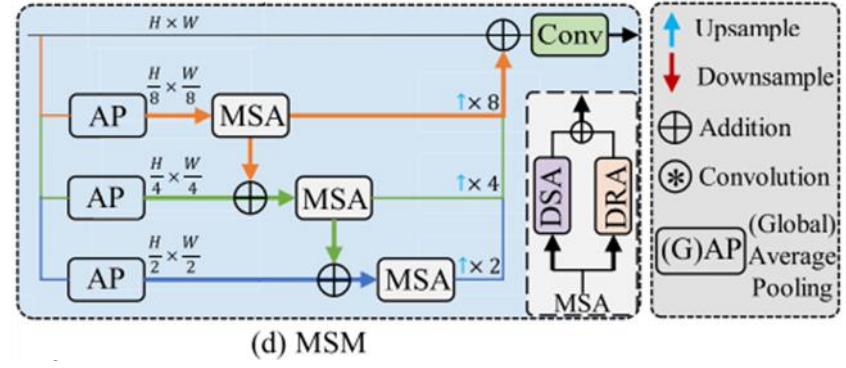
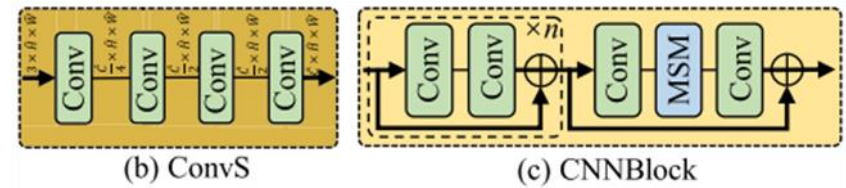
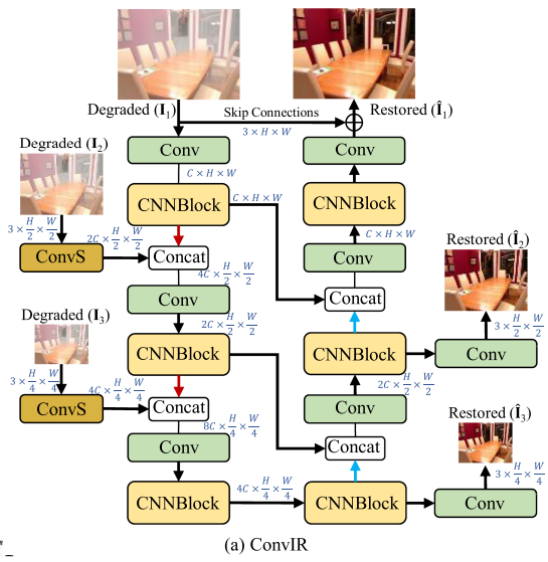
- U-Net 구조

- 3x3 convolution을 통해 shallow feature를 얻다가 CNNBlock 3개 사용

- CNNBlock는 residual block 몇 개로 이루어졌으며 마지막 block에 MSM을 추가
 - CNNBlock 통해 channel을 늘면서 spatial resolution을 줄임

- 다음은, 입력 이미지를 downsampling해서 main path와 합침

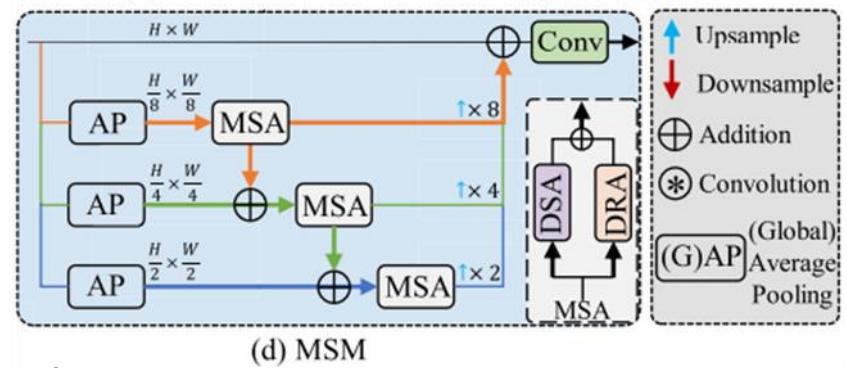
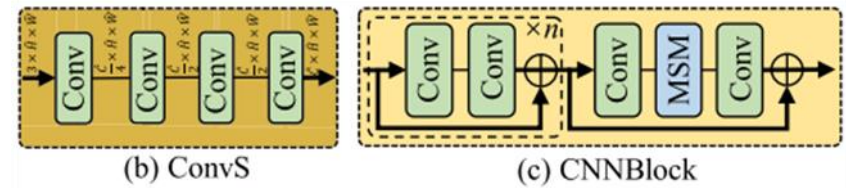
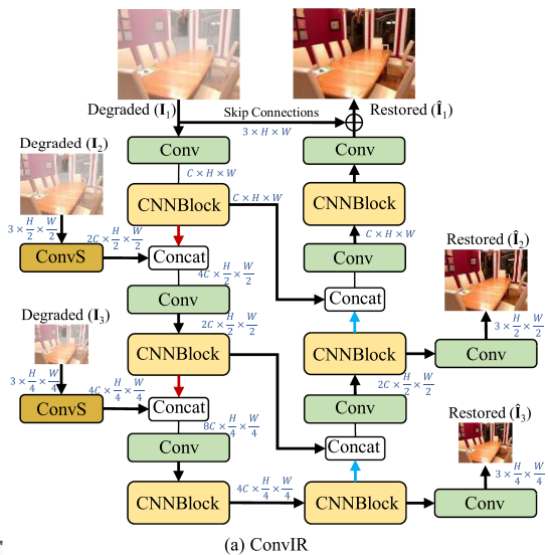
- 다른 blur level에 대해 degradation을 해제 가능하게 함.
 - Downsampling한 이미지에 ConvS 적용해서 channel 수 main path와 맞게 함



Method

- 모델 구조

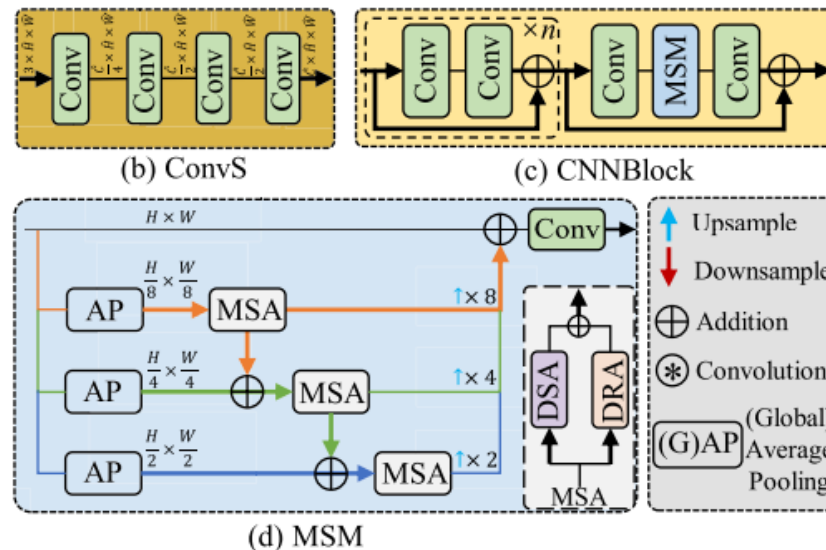
- 이후에, downsampled 이미지의 feature를 main path에 추가
 - Conv로 channel 수 줄임
- Decoder에 encode와 비슷하게 CNNBlock 3개 사용해서 high-resolution 이미지 복원
- 학습 과정에 multi-output 기법 써서 low-res clean 이미지 출력됨
 - 일반 U-Net구조보다 성능 향상
- Decoder에 encoder feature도 concat 되고 1x1 conv로 channel 수 반으로 줄임
- 마지막에 3x3 conv 적용한 다음에 입력 이미지와 합친 이후에 clean 이미지를 출력



Method

- Multi-Scale Module (MSM)

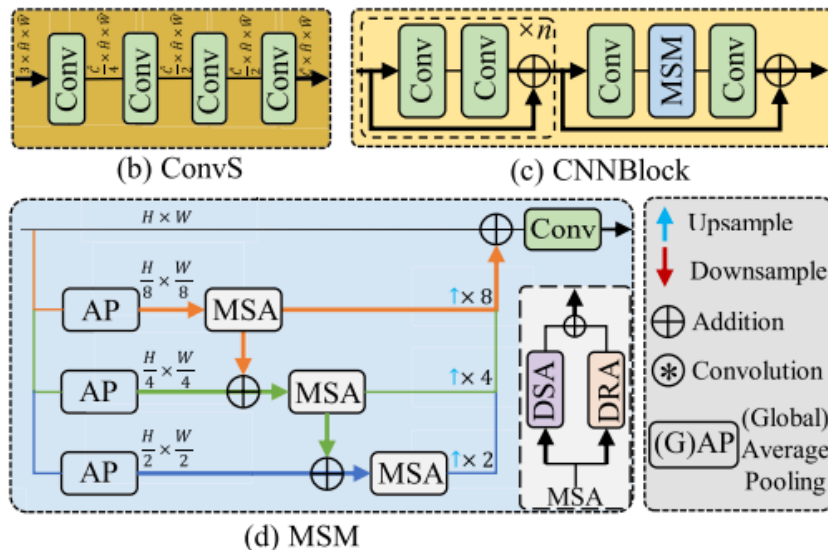
- Coarse-to-fine restoration을 위해서 multi-stage network을 따라함
- Input tensor를 받고 average pooling과 Downsampling 통해 feature space로 변화
- Branch마다 MSA로 생긴 resulting feature들이 다음 branch로 넘김
 - 이를 다양한 사이즈의 degradation을 progressively 잘 없앨 수 있음
- 마지막에 downsample된 feature 다시 원래 사이즈로 upsample하고 합침



Method

- Multi-Shape Attention (MSA)

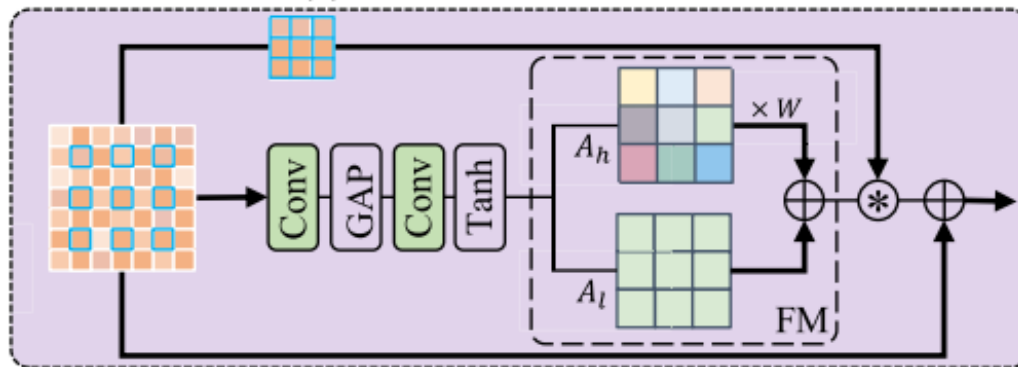
- Multi-scale learning 더 efficient하게 사용하기 위해 모든 MSM branch에 MSA 추가
- Transformer는 self-attention 통해 좋은 성능 보여줌
 - Quadratic complexity 때문에 image restoration에 큰 단점이 있음
 - 원래 convolution은 static 해서 spatially-varying degradation blur에 사용 불가능
- MSA는 둘 강점을 가져가서 효율적이면서 뛰어난 성능 보여줌
- Dilated Square Attention (DSA)와 Dilated Rectangle Attention (DRA)로 이루어짐



Method

- Dilated Square Attention (DSA)

- Convolution으로 입력 feature에 adaptive 하게 attention weight를 생성하고 convolution으로 aggregation 함
- 보통 self-attention에 softmax로 weight normalization 함
 - 나온 weight가 low-pass filter의 kernel로 볼 수 있음
 - Image restoration에 sharp과 degraded 이미지의 차이가 거의 high-frequency에 존재
- Softmax를 대신 tanh를 사용
 - Tanh로 이전에 존재한 low-pass filter의 limitation을 없앴
 - Tanh로 attention weight는 $(-1, 1)$ range로 바뀌어서 negative weight로 detrimental pixels 예방



(e) Dilated Square Attention (DSA)

Method

- Dilated Square Attention (DSA)

- 입력을 그룹으로 나눠서 attention weights를 계산

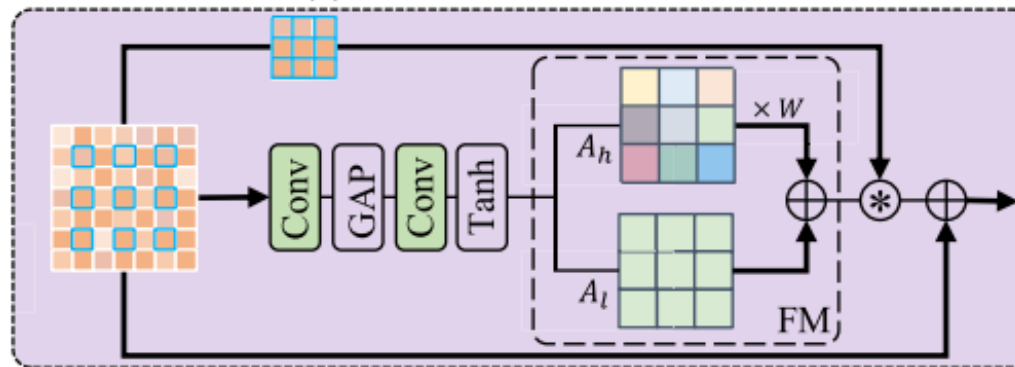
- Complexity/weight diversity의 trade off 때문에 모든 channel에 weight 만들지 않음

- 이렇게 모든 feature 그룹 weights는 channel과 spatial dimension에 shared하게 사용

- Filter modulation (FM)을 통해 high-pass filter을 설계

- FM 이후에 계산 된 attention weigh에 input feature를 convo로 추가

- Large receptive field을 보기 위해서 input feature의 pixel은 dilated 방식으로 선택



(e) Dilated Square Attention (DSA)

Method

- Filter modulation (FM)

- Attention map A^{DSA} 를 low/high-pass filter로 나누는 역할

- Low-pass filter는 입력의 direct-current component만 유지하는 filter로 설계

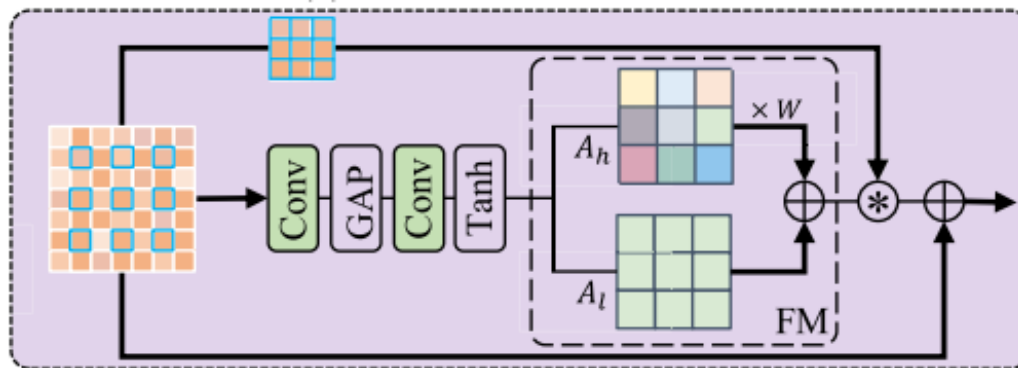
$$\ni A_l^{DSA} = \frac{1}{K^2} E$$

- ✓ E 는 A^{DSA} 와 같은 shape이며 모든 value가 1

- High-pass filter는 low-pass filter의 complement으로 계산

$$\ni A_h^{DSA} = A^{DSA} - A_l^{DSA}$$

- High-pass filter의 attention map에 있는 영향을 learnable 파라미터 W 로 reweight해서 중요한 frequency에 집중



(e) Dilated Square Attention (DSA)

Method

- Dilated Rectangle Attention (DRA)

- DSA와 비슷한 구조

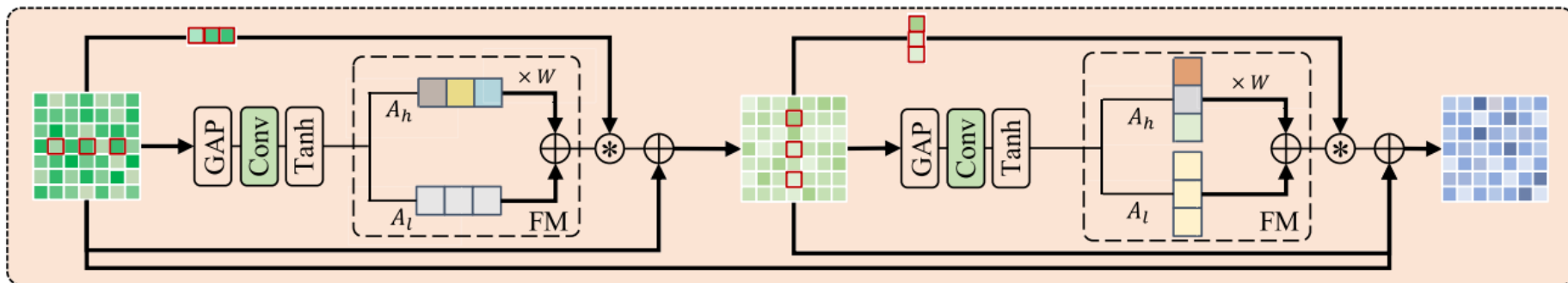
- Multi-shape representation learning을 개선하기 위해서 rectangle 기반인 orthogonal attention 계산

- 먼저 horizontal unit 실행한 다음에 vertical unit 실행

- Loss function

- $\mathcal{L}_{spatial} = \sum_{i=1}^3 \frac{1}{p_i} \|\hat{I}_i - Y_i\|_1$

- $\mathcal{L}_{frequency} = \sum_{i=1}^3 \frac{1}{s_i} \|[R(\hat{I}_i), J(\hat{I}_i)] - [R(Y_i), J(Y_i)]\|_1$



(f) Dilated Rectangle Attention (DRA)

Ablation

Methods	a	b	c	d	e	f
Baseline	✓	✓	✓	✓	✓	✓
MSM/Conv		✓	✓	✓	✓	✓
DSA/Conv			✓	✓	✓	✓
DSA/FM				✓	✓	✓
DSA/Dilation					✓	✓
DRA						✓
PSNR	31.23	31.46	31.53	31.64	31.76	31.92
Params/M	6.90	8.45	8.55	8.56	8.56	8.63
FLOPs/G	66.32	71.17	71.19	71.19	71.19	71.22
Time/s	0.134	0.152	0.165	0.166	0.170	0.206

< Break-down ablation on every model part >

2	4	8	PSNR	Params/M	FLOPs/G
			31.23	6.90	66.32
✓			31.45	7.74	70.91
✓	✓		31.62	8.18	71.15
✓	✓	✓	31.92	8.63	71.22

< Analysis on number of branches in MSM >

Pooling Types	Convolution	Max Pooling	Average Pooling
PSNR	31.75	31.65	31.92

Methods	Softmax	Linear	Sigmoid	Tanh
PSNR	31.75	31.79	31.83	31.92

< Analysis on pooling operator and functions >

Experiments

- Quantitative Results

Methods	Indoor Scenes				Outdoor Scenes				Combined				Params (M)	FLOPs (G)
	PSNR \uparrow	SSIM \uparrow	MAE \downarrow	LPIPS \downarrow	PSNR \uparrow	SSIM \uparrow	MAE \downarrow	LPIPS \downarrow	PSNR \uparrow	SSIM \uparrow	MAE \downarrow	LPIPS \downarrow		
DPDNet [29]	26.54	0.816	0.031	0.239	22.25	0.682	0.056	0.313	24.34	0.747	0.044	0.277	31.03	770
KPAC [7]	27.97	0.852	0.026	0.182	22.62	0.701	0.053	0.269	25.22	0.774	0.040	0.227	2.06	113
MDP [98]	28.02	0.841	0.027	-	22.82	0.690	0.052	-	25.35	0.763	0.040	-	46.86	1898
IFAN [6]	28.11	0.861	0.026	0.179	22.76	0.720	0.052	0.254	25.37	0.789	0.039	0.217	10.48	363
DRBNet [19]			-				-		25.73	0.791	-	0.183	11.69	693
FocalNet [46]	29.10	0.876	<u>0.024</u>	0.173	23.41	0.743	0.049	0.246	26.18	0.808	<u>0.037</u>	0.210	12.82	1376
Restormer [16]	28.87	<u>0.882</u>	0.025	<u>0.145</u>	23.24	0.743	<u>0.050</u>	<u>0.209</u>	25.98	0.811	0.038	<u>0.178</u>	26.16	1983
IRNeXt [34]	<u>29.22</u>	0.879	<u>0.024</u>	0.167	23.53	<u>0.752</u>	0.049	0.244	<u>26.30</u>	<u>0.814</u>	<u>0.037</u>	0.206	14.76	1778
ConvIR-S (Ours)	28.95	0.877	<u>0.024</u>	0.158	23.32	0.747	<u>0.050</u>	0.221	26.06	0.810	<u>0.037</u>	0.190	5.53	579
ConvIR-B (Ours)	29.06	0.879	<u>0.024</u>	0.156	23.42	<u>0.752</u>	0.049	0.219	26.16	<u>0.814</u>	<u>0.037</u>	0.188	8.63	979
ConvIR-L (Ours)	29.37	0.887	0.023	0.143	<u>23.51</u>	0.757	0.049	0.203	26.36	0.820	0.036	0.174	14.83	1778

< Defocus deblur task >

Methods	PSNR	SSIM	FLOPs (G)	Params (M)	Time (s)	Memory (G)
MIMO-UNet++ [5]	32.68	0.959	617.64	16.1	1.277	10.395
MPRNet [12]	32.66	0.959	777.01	20.1	1.148	10.415
MAXIM-3S [47]	32.86	0.961	119.5	22.2	-	-
Restormer [16]	32.92	0.961	140.99	26.1	1.218	12.333
Stripformer [17]	33.08	<u>0.962</u>	170.46	20.0	1.054	12.149
PromptRestorer [32]	33.06	<u>0.962</u>	-	-	-	-
IRNeXt [34]	<u>33.19</u>	0.963	129.33	14.76	0.291	6.865
ConvIR-L (Ours)	33.28	0.963	129.34	14.83	0.323	6.867

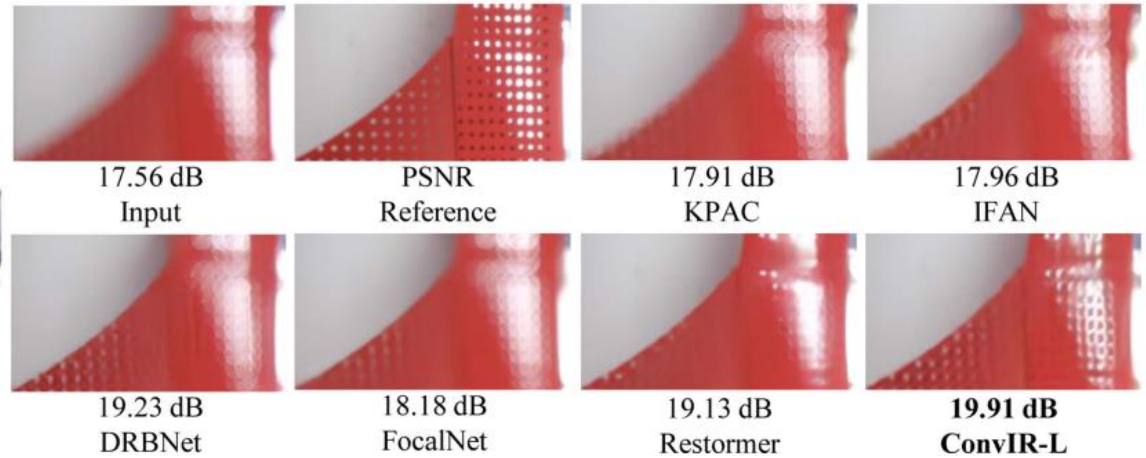
< Motion deblur task >

Experiments

- Qualitative Results



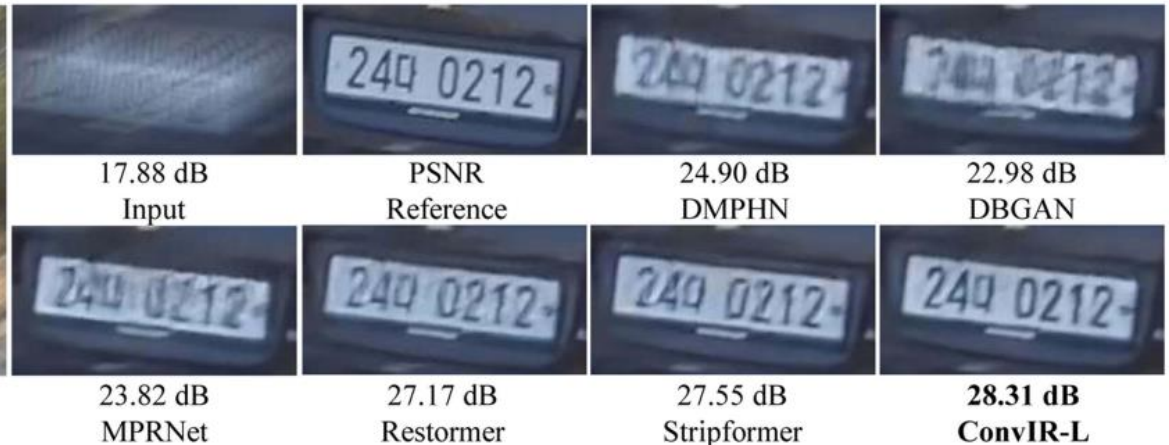
Blurry Image



< Defocus deblur task >



Blurry Image



< Motion deblur task >

Thank you!